

HW3 单参数曲线拟合

一、 算法分析与实现

由于本次作业要求对平面 2 维曲线的采样点进行拟合，而已知平面 2

维曲线的本征维度为 1, 故作业中采用单参数方程组 $\begin{cases} x = x(t) \\ y = y(t) \end{cases}$ 对各采

样点进行曲线拟合，其中 $x(t), y(t)$ 共享幂基函数 $1, t, t^2, \dots, t^m, t \in [0, 1]$,

误差度量采用平方误差 $E = \sum_{i=1}^n \left\| \begin{pmatrix} x(t_i) \\ y(t_i) \end{pmatrix} - \begin{pmatrix} x_i \\ y_i \end{pmatrix} \right\|^2$ ，通过最小二乘法计算得到拟合函数 $x(t), y(t)$ 的加权参数值。

本次作业采用了 4 种点列的参数化方法：

1. Equidistant/Uniform parameterization

Equidistant/均匀参数化是最简单的一种参数化方法，它根据采样点个数将 t_i 均匀分布在区间 $[0, 1]$ 上，公式如下：

$$t_1 = 0, t_i = \frac{i}{n}, 2 \leq i \leq n-1, t_n = 1$$

2. Chordal parameterization

鉴于曲线采样点的分布往往不均匀、无规律性，因此 Chordal 参数化根据相邻采样点 $D_k(x_k, y_k), D_{k-1}(x_{k-1}, y_{k-1})$ 之间的距离 (chord-length) 分配各 t_i 的值，公式如下：

$$t_1 = 0, t_i = \frac{\sum_{k=1}^i \|D_k - D_{k-1}\|}{\sum_{k=1}^n \|D_k - D_{k-1}\|}, 2 \leq i \leq n-1, t_n = 1$$

3. Centripetal parameterization

Centripetal 向心参数化可看作 Chordal 的改进版本，它对 chord-length 用 $e = \frac{1}{2}$ 次幂作了进一步修正，公式如下：

$$t_1 = 0, t_i = \frac{\sum_{k=1}^i \|D_k - D_{k-1}\|^e}{\sum_{k=1}^n \|D_k - D_{k-1}\|^e}, 2 \leq i \leq n-1, t_n = 1$$

4. Foley parameterization

Foley-Nielson 参数化是 Thomas A. Foley 等人于 1989 年在论文 Knot Selection for Parametric Spline Interpolation 中提出的参数化算法，它使用 Nielson 尺度来测量相邻采样点之间的距离(Nielson distance)，从而对曲线的旋转、平移和缩放等具有仿射不变性，其公式如下：

$$t_1 = 0, t_i = \frac{\sum_{k=1}^i \text{Nielson}(D_k, D_{k-1})}{\sum_{k=1}^n \text{Nielson}(D_k, D_{k-1})}, 2 \leq i \leq n-1, t_n = 1$$

其中，

$$\text{Nielson}(D_2, D_1) = \|D_2 - D_1\| \left(1 + \frac{3}{2} \frac{\hat{\alpha}_2 \|D_2 - D_1\|}{\|D_2 - D_1\| + \|D_3 - D_2\|} \right),$$

$$\text{Nielson}(D_k, D_{k-1}) = \|D_k - D_{k-1}\| \left(1 + \frac{3}{2} \frac{\hat{\alpha}_{k-1} \|D_{k-1} - D_{k-2}\|}{\|D_{k-1} - D_{k-2}\| + \|D_k - D_{k-1}\|} + \frac{3}{2} \frac{\hat{\alpha}_k \|D_k - D_{k+1}\|}{\|D_k - D_{k+1}\| + \|D_k - D_{k-1}\|} \right), k = 3, \dots, n-1,$$

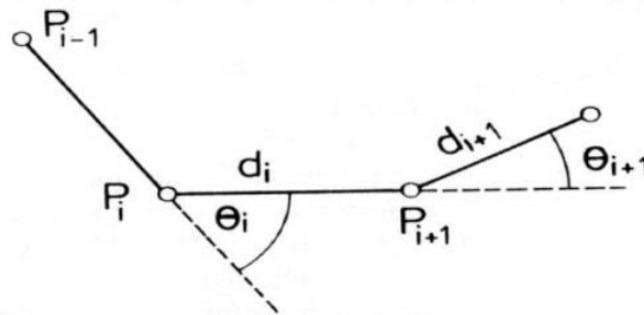
$$\text{Nielson}(D_n, D_{n-1}) = \|D_n - D_{n-1}\| \left(1 + \frac{3}{2} \frac{\hat{\alpha}_{n-1} \|D_{n-1} - D_{n-2}\|}{\|D_{n-1} - D_{n-2}\| + \|D_n - D_{n-1}\|} \right),$$

$$\hat{\alpha}_k = \min \left(\alpha_k, \frac{\pi}{2} \right), k = 2, 3, \dots, n-1,$$

$$\alpha_k = \pi - \arccos \left(\frac{\|D_{k+1} - D_k\|^2 + \|D_k - D_{k-1}\|^2 - \|D_{k+1} - D_{k-1}\|^2}{2 \|D_{k+1} - D_k\| \|D_k - D_{k-1}\|} \right), k =$$

$$2, 3, \dots, n-1.$$

分析图示如下（图中的 $\angle \theta_i$ 即 $\angle \alpha_i$ ，点 P_i 即点 D_i ）：



显然， $\angle(\pi - \theta_i)$ 是在 $\Delta P_{i+1} P_i P_{i-1}$ 中应用余弦定理求得。

据此对以上 4 种算法作代码实现，截取如下：

```
for (int i = 0; i < coords_size - 1; i++) {
    chordalDistance[i] = CalDistance(coords[i + 1], coords[i]);
    centripetalDistance[i] = sqrt(chordalDistance[i]);

    sumChordalDistance += chordalDistance[i];
    sumCentripetalDistance += centripetalDistance[i];
}

for (int i = 0; i < coords_size - 1; i++) {
    if (i < coords_size - 2) {
        alpha[i] = acos((pow(chordalDistance[i], 2) + pow(chordalDistance[i + 1], 2) - pow(CalDistance(coords[i + 2], coords[i]), 2)) / (2.0 * chordalDistance[i] * chordalDistance[i + 1])); // Law of cosines
        alpha[i] = min(M_PI - alpha[i], M_PI_2);
    }

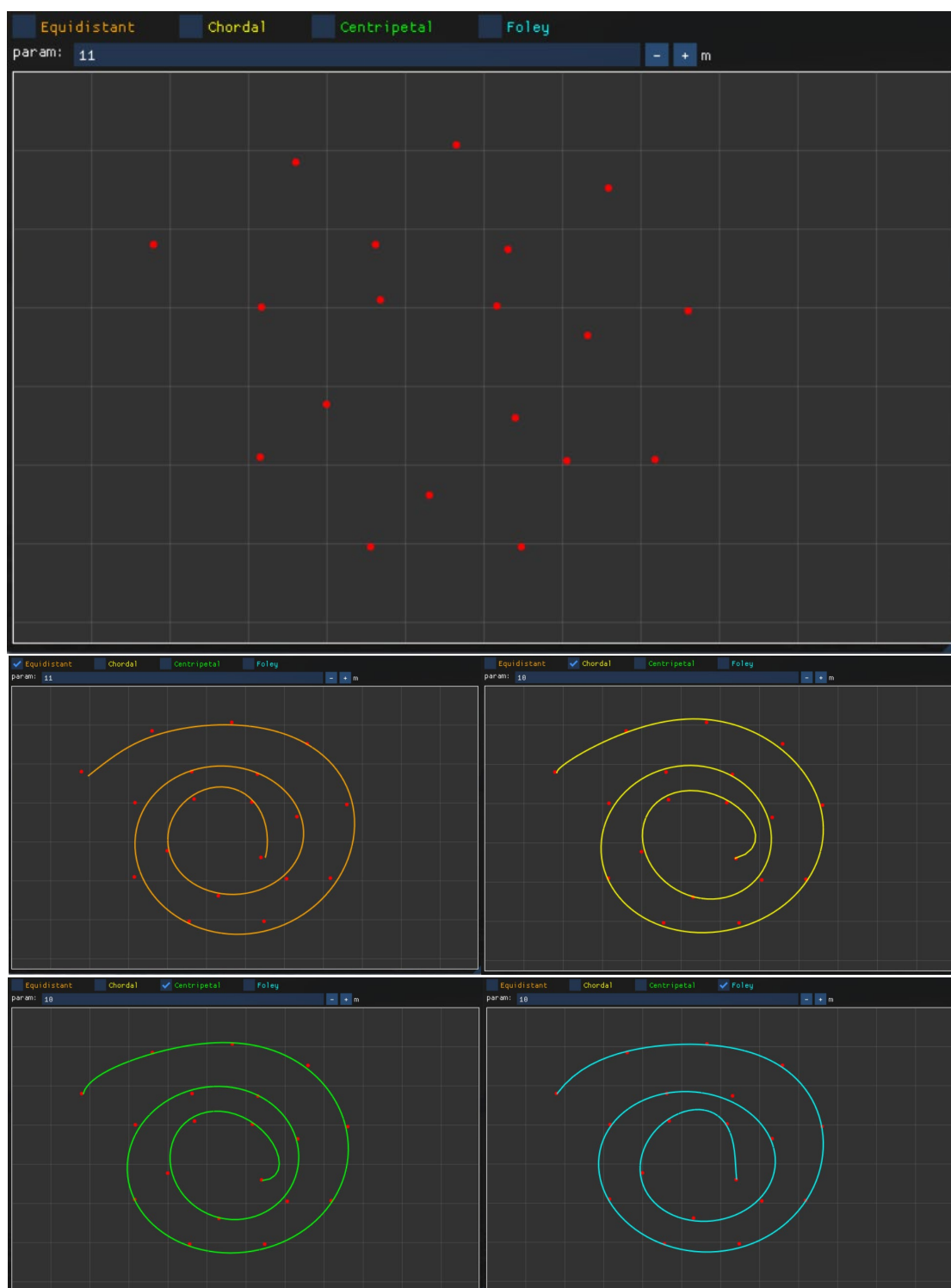
    if (i == 0) {
        foleyDistance[i] = chordalDistance[i] * (1.0 + 1.5 * alpha[i] * chordalDistance[i] / (chordalDistance[i] + chordalDistance[i + 1]));
    }
    else if (i == coords_size - 2) {
        foleyDistance[i] = chordalDistance[i] * (1.0 + 1.5 * alpha[i - 1] * chordalDistance[i - 1] / (chordalDistance[i - 1] + chordalDistance[i]));
    }
    else {
        foleyDistance[i] = chordalDistance[i] * (1.0 + 1.5 * alpha[i - 1] * chordalDistance[i - 1] / (chordalDistance[i - 1] + chordalDistance[i]) + 1.5 * alpha[i] * chordalDistance[i] / (chordalDistance[i] + chordalDistance[i + 1]));
    }

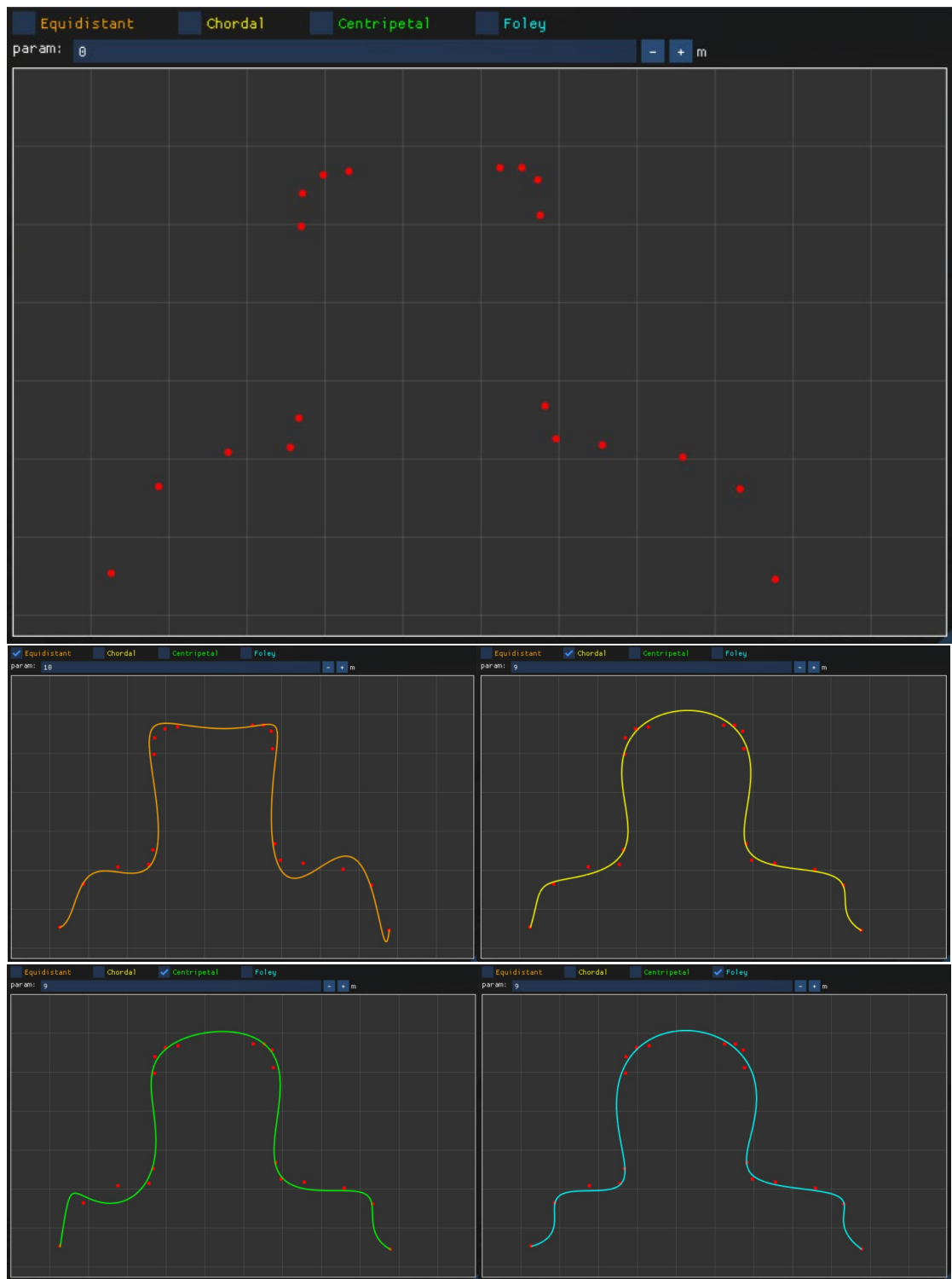
    sumFoleyDistance += foleyDistance[i];
}
```

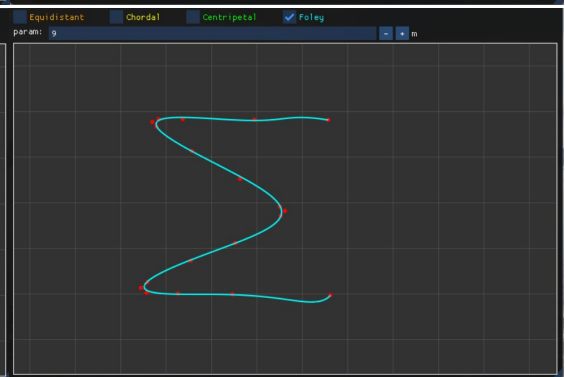
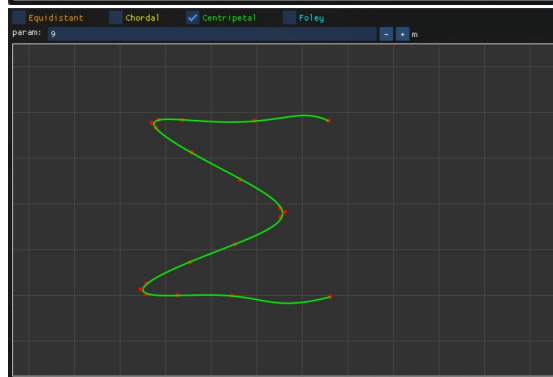
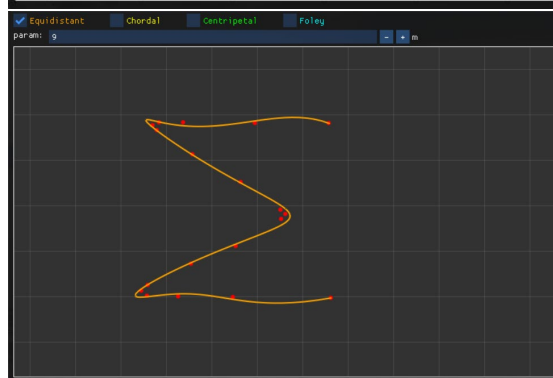
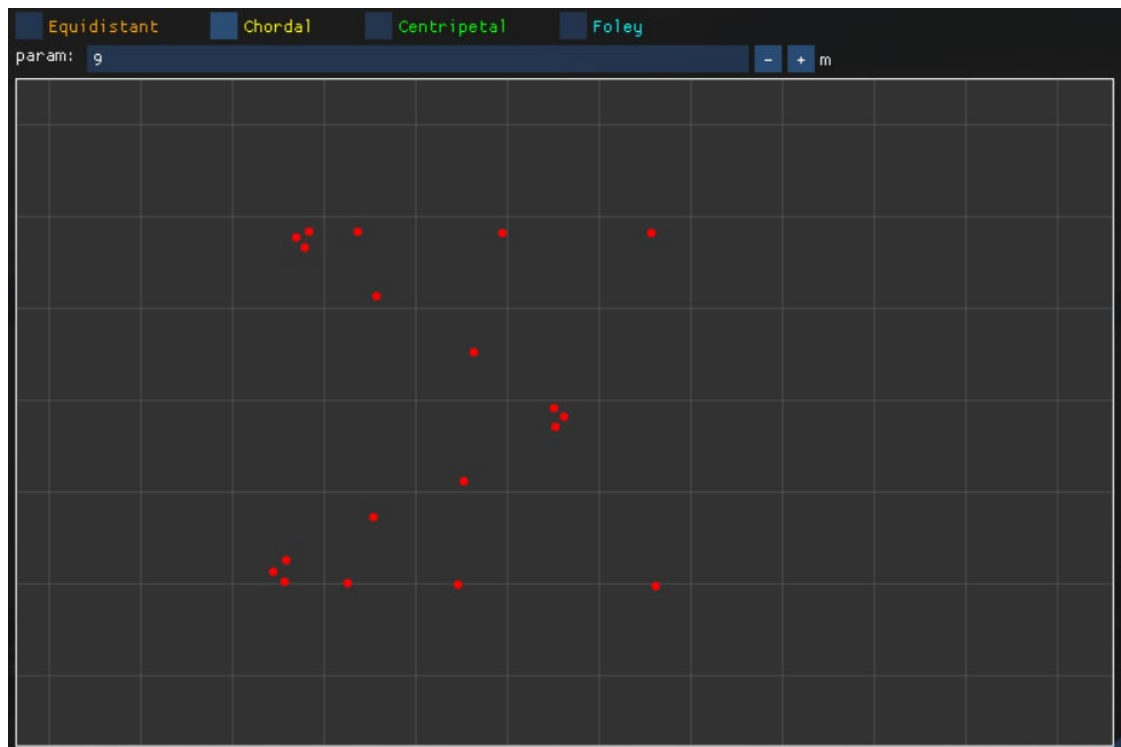
二、实验分析与结论

1. 实验结果

以下各图示出了上述 4 种算法对 3 组不同曲线采样点的拟合结果（幂基函数的最高次数 m 都经过一定优化调整）：







2. 结论

- a) 对于采样均匀、规则的曲线，与另外 3 种算法相比，Equidistant 均匀参数化作为一种简单而有效的算法，既节约了计算成本，又节省了存储空间；
- b) 对于采样不均匀、不规则且曲率较大的曲线，Chordal, Centripetal 及 Foley 参数化根据相邻采样点之间的距离度量合理分配各 t_i 的值，使拟合曲线在曲率、采样率较大处保持平滑过渡，效果明显优于均匀参数化算法；
- c) 后 3 种算法比较而言，Foley-Nielson 参数化以更大的计算和存储成本为代价，换取了更为平滑、精确的拟合结果。